



جمهورية العراق

وزارة التعليم العالي والبحث العلمي

جامعة ديالى / كلية الزراعة

قسم البستنة وهندسة الحدائق

**الدراسة الجزئية ودور الثيادوزورون والبورون والتربتوفان في
بعض صفات النمو والحاصل الكمية والنوعية والخزنية لثمار
المشمش صنف عموشة**

اطروحة تقدمت بها

لمى بشير حسين العباسي

الى مجلس كلية الزراعة / جامعة ديالى

وهي جزء من متطلبات درجة دكتوراه فلسفة في العلوم الزراعية / البستنة وهندسة

الحدائق (فاكهة وخضر)

بإشراف

أ.د. غالب ناصر حسين الشمري

أ.د. علي محمد عبد الحياني

2024 م

1446 هـ

leaves and reduced fruit drop (second season only) and fruit size. The interaction between thidiazuron at a concentration of 20 mg L⁻¹ and tryptophan at a concentration of 100 mg L⁻¹ led to an increase in the potassium content of the leaves and the acidity of the fruit juice.

Storage experiment:

A factorial experiment was designed using a completely randomized design (C.R.D.) on apricot fruits, Amousha variety, with three replicates in one of the private cold stores in Diyala Governorate during the 2022 season, where the fruits taken from the two best treatments of the field experiment were stored as the first factor. The fruits were immersed before storage with calcium chloride at a concentration of 5% and potassium silicate at a concentration of 2 ml L⁻¹, in addition to the non-immersion treatment (comparison) as the second factor. After that, the fruits were packed in plastic containers, and all treatments were stored at a temperature of 0 + 0.5 C and relative humidity (85 – 90%). The fruits were stored for 30 days, after which measurements were taken for the studied traits. The results were analyzed using the SAS program, and the differences between the averages were compared according to Duncan's multiple range test at a probability level of 0.05. The most important results can be summarized as follows:

- The spraying treatment with Thidiazuron + Boron + Tryptophan reduced the percentage of weight loss and spoilage after 30 days of cold storage and gave the highest percentage of total soluble solids, carotene pigment content in the fruit peel, total sugars, and the highest respiration rate and vital heat.
- The calcium chloride immersion treatment outperformed with the lowest percentage of total spoilage, the highest content of vitamin C, and the lowest rate of respiration rate and vital heat, while the potassium silicate immersion treatments gave the lowest percentage of weight loss and total fruit spoilage

and the highest percentage of total soluble solids, total protein, carotene, and vitamin C content of the fruit peel, total sugars, and fruit quality.

- The interaction between the spraying treatment with Thidiazuron + Boron + Tryptophan and immersion in calcium chloride was superior in giving the lowest percentage of total damage and the highest content of protein and vitamin C and reduced the rate of respiration and vital temperature, while the interaction between Thidiazuron + Boron + Tryptophan and immersion in potassium silicate gave the lowest percentage of weight loss and the highest percentage of total soluble solids and the highest content of protein, vitamin C, and total sugars and the highest quality of fruits.

التجربة الجزئية

1-المقدمة

ينتمي المشمش الى فصيلة *prunoideae* التابعة للعائلة الوردية وانتشر المشمش في جميع أنحاء العالم عبر ثلاثة طرائق انتشار: شرق آسيا إلى اليابان، ومنطقة القوقاز الإيرانية، وأوروبا القارية (Bourguiba واخرون، 2020) ومن المنطقة الإيرانية القوقازية وصلت إلى بلدان البحر الأبيض المتوسط عبر طريقين ثانويين، جنوب أوروبا وشمال أفريقيا، مما أدى إلى نشوء ثلاث مجموعات رئيسة للمشمش في جميع أنحاء حوض البحر الأبيض المتوسط: "القوقاز الإيراني"، و"حوض شمال البحر الأبيض المتوسط". و"حوض جنوب البحر الأبيض المتوسط" (Bourguiba واخرون، 2012)، نشأت جميع أصناف المشمش المزروعة في العالم من نوع واحد فقط هو *Prunus armeniaca L.* (Hormaza واخرون، 2007)،

يعتمد اكنار النباتات على موارد الأصول الوراثية واسعة النطاق إذ أحدث علم الجينوم ثورة في طرائق التربية، وهناك العديد من التقنيات التي يجري تطويرها وتحسينها لتربية النباتات والتي تنعكس على النمط الظاهري فضلا عن دراسة العلاقة بين النمط الظاهري والنمط الوراثي (Geuna واخرون، 2024)، مع زيادة عدد الأصناف يصبح التمييز بينها على أساس المؤشرات المظهرية أكثر صعوبة إذ تتأثر بالعديد من العوامل مثل نوعية الثمار والأمراض التي تصيب الثمار والأوراق فضلا عن تأثيرها بالعوامل البيئية وعوامل خدمة البساتين مما يجعل هذه العوامل غير دقيقة مما دعى الباحثين الى إيجاد مؤشرات أكثر دقة وكفاءة في التصنيف، لذا كانت الحاجة الى اتباع طرائق جديدة كإجراء البصمة الوراثية للنباتات، فأنقلت البحوث في الآونة الأخيرة لاعتماده أداة قوية لا تتأثر بالظروف التي تتأثر بها المؤشرات المظهرية وفيها نسبة ثبات عالية (Jaccoud واخرون، 2001)

هدفت هذه الدراسة الى انشاء مجمع وراثي للاصناف المزروعة في محافظة ديالى بغية الحفاظ عليها وتثبيت البصمة الوراثية لها وتحديد القرابة الوراثية بين الاصناف شركة، وزاغينيا، قيسي وعموشة باستعمال تقانة DNA-Sequence Markers.

2 - مراجعة المصادر

1-2: تفاعل PCR (Polymerase Chain Reaction)

تفاعل البلمرة المتسلسل PCR هو احد التقنيات العلمية في البيولوجيا الجزيئية لتضخيم نسخة واحدة او بضع نسخ من قطعة من الحمض النووي خارج الجسم الحي مما ينتج الالف الى ملايين النسخ من تسلسل DNA معين، اذ تسمح هذه التقنية بتضخيم كمية صغيرة من DNA عدة مرات بطريقة أسية مع توفير المزيد من مكونات DNA، كما تعد تقنية شائعة تستخدم في مختبرات البحوث الطبية والبيولوجية لمجموعة متنوعة من التطبيقات مثل الكشف عن الامراض الوراثية وتحديد البصمات الوراثية، استنساخ الجينات وحساب الحمض النووي (Baretlett و Stirling، 2003، Rahman ، واخرون، 2013)

2-2: مؤشرات تتابع شريط DNA (DNA Sequence Marker)

تلعب التتابعات النيوكليوتيدية لشريط DNA دوراً مهماً في تحديد هوية النبات ودرجة القرابة الوراثية له، وهي احدى الطرائق التحليلية السريعة والموثوقة في تحديد جينوم النبات والتي تعتمد على تقنية PCR، وهي تمثل تسلسلاً لمنطقة معينة من الجينوم مثل منطقة ITS1 و ITS2 (Internal Transcribed Spacer) 5.8s و 18s و 25s الموجودة على احد الكرموسومات او عدد منها والتي توجد على مناطق معينة من rRna تكون غير مشفرة ولكن لها دور في ترجمة البروتينات وبنائها (Gillespie واخرون، 2006)، وقد أجريت دراسات عديدة لأنواع نباتية مختلفة، اذ نفذت دراسة جزيئية من قبل المياحي (2018) على أشجار الرمان *Punica granatum*، جرى فيها تحديد البصمة الوراثية وتمييز 10 طرز الرمان المحلي، وجمعت من 7 مواقع تمثل اهم مناطق زراعة وإنتاج الرمان في العراق، استعملت تقانة ISSR لتحديد العلاقات الوراثية بين طرز

الرمان المدروسة (10 طرز) باستعمال 10 بادئة، وقد تراوحت درجة التشابه بين هذه الطرز من 64-97%، ويمكن تقسيم الطرز المدروسة الى مجموعات وفق درجة القرابة الوراثية. ومنها ما قام به Sevindik و Murthan (2023) بدراسة على سبعة أنماط وراثية من الكمثرى (*P. communis*) باستخدام الجين *rbcl* DNA وأنشئت الشجرة الوراثية لتحديد العلاقات بين الأنماط الجينية لهذا الجنس وتراوحت متواليات *cpDNA rbcl* المضخمة بين 546 و551 نيوكليوتيدة. كما اجرت Abdulrahman وآخرون (2023) تحليلا وراثيا لجنس *prunus* باستخدام مؤشرات جينية كتوصيف بايولوجي عضوي كيميائي لتحديد التنوع الجيني لأنواع مختلفة من هذا الجنس في العراق بالاعتماد على مؤشرات جزيئية DNA ومؤشرات البلاستيدات الخضراء وجمع 12 نوعا من اللوز (*P. amygdalus*) واختبرت 10 علامات مناطق جينية على كل من DNA و DNA البلاستيدات الخضراء باستخدام PCR مع 10 بادئات منطقة الجينات وتحليل النتائج ل *matK* وان أسماء منطقة الجينات المستخدمة هي ITS (منطقة ترميز 5.8s + ITS2 + ITS1) ، *atpB-rbcL* ، *rp136-infArps8* ، *trnk-rps16* ، *pbSM+trnD* ، *rbcl* ، *matK* ، *rb116* ، *psbA-trnH* ، *trnL-trnF* ، ونتيجة لذلك تم الحصول على خمسة أشجار مختلفة من النشوء والتطور من التسلسل الجيني للعينات.

3- المواد وطرائق العمل:**3-1: جمع العينات النباتية**

جمعت العينات النباتية من الأصناف (زاغينيا، شركة (أبو الزنجيل)، عموشة والقيسي) اذ كانت الأصناف زاغينيا، شركة (أبو الزنجيل)، عموشة مزروعة في منطقة الكصيرين و صنف القيسي مزروع في منطقة دلي عباس التابعتين لقضاء الخالص/ محافظة ديالى، اخذت نموات ورقية حديثة من كل نبات ثم نظفت وغسلت بالماء المقطر وعقمت بالكحول 70% وحفظت في المجمدة عند درجة حرارة 85°C م لحين استخدامها لاستخلاص DNA.

*اجري العمل المختبري في مختبرات شركة وهج الدنا في محافظة بغداد.

جدول 1: المحاليل المستخدمة لاستخلاص DNA

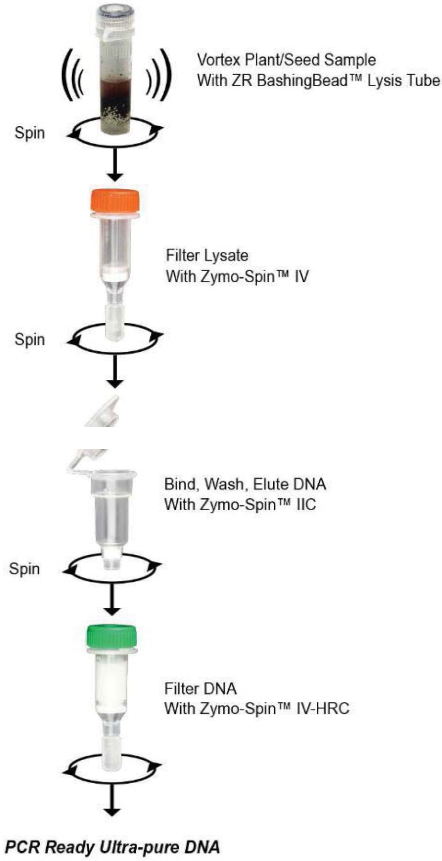
| ZR Plant/Seed DNA MiniPrep™ (Kit Size) | D6020 (50 preps.) | Storage Temperature |
|--|----------------------|------------------------|
| ZR BashingBead™ Lysis Tubes | 50 | Room Temp. |
| Lysis Solution | 40 ml | Room Temp. |
| Plant/Seed DNA Binding Buffer* | 100 ml | Room Temp. |
| DNA Pre-Wash Buffer** | 15 ml | Room Temp. |
| Plant/Seed DNA Wash Buffer | 50 ml | Room Temp. |
| DNA Elution Buffer | 10 ml | Room Temp. |
| Zymo-Spin™ IV Spin Filters (Orange Tops) | 50 | Room Temp. |
| Zymo-Spin™ IV-HRC Spin Filters (Green Tops) | 50 | Room Temp. |
| Zymo-Spin™ IIC Columns | 50 | Room Temp. |
| Collection Tubes | 200 | Room Temp. |
| Instruction Manual | 1 | - |

2-3: استخلاص DNA

استخلصت المادة الوراثية (DNA) من العينات قيد الدراسة وفقاً للطريقة الموصوفة من قبل Vogelstein وآخرون (1979) مع إجراء بعض التعديلات الطفيفة عليها وكما موضح بالخطوات الآتية :

- 1- اضيف 150 ملغم من عينة الاجزاء النباتية الى انبوب تحليل ZR Bashing Bead™ واضيف 750 مايكرو لتر من محلول التحليل الى الانبوب.
- 2- وضع الانبوب في جهاز دوران بمجموعة حامل انبوب سعة 2 مل
- 3- اجريت عملية الطرد المركزي لأنبوب التحلل ZR Bashing Bead™ بجهاز طرد مركزي دقيق microcentrifuge بقوة 10000 دورة لمدة دقيقة.
- 4- نقل 400 مايكرو لتر من المادة الطافية الى مرشح الدوران Zymo-spin™ IV (الجزء العلوي برتقالي) في انبوب التجميع وعمل طرد مركزي عند 7000 دورة في الدقيقة.
- 5- اضيف 1200 مايكرو لتر من منظم حزم DNA (DNA Binding Buffer) الى المرشح الموجود في انبوب التجميع من الخطوة الرابعة وخلطه.
- 6- نقل 800 مايكرو لتر من الخليط الناتج في الخطوة 5 الى عمود Zymo-spin™ IIC في انبوب تجميع وعمل طرد مركزي عند 10000 X غم لمدة دقيقة.
- 7- اهملت المادة الطافية من خلال انبوب التجميع وتكرر الخطوة السادسة.
- 8- اضيف 200 مايكرو لتر من منظم DNA pre-wash الى عمود الى Zymo-spin™ IIC في انبوب تجميع جديد وعمل طرد مركزي عند 10000 x غم لمدة دقيقة واحدة.

9- اضيف 500 مايكرو لتر من محلول غسل الى عمود Zymo-spin™ IIC وعمل طرد مركزي عند $10000 \times$ غم لمدة دقيقة واحدة.



شكل 3: يوضح خطوات استخلاص DNA

10- نقل عمود Zymo-spin™ IIC الى انبوب طرد مركزي دقيق 1.5 مل ثم يتم اضافة 50 - 100 مايكرو لتر من محلول شطف DNA العازلة مباشرة الى انبوب الحشوة وعمل طرد مركزي عند $10000 \times$ غم لمدة 30 ثانية لاستخراج DNA.

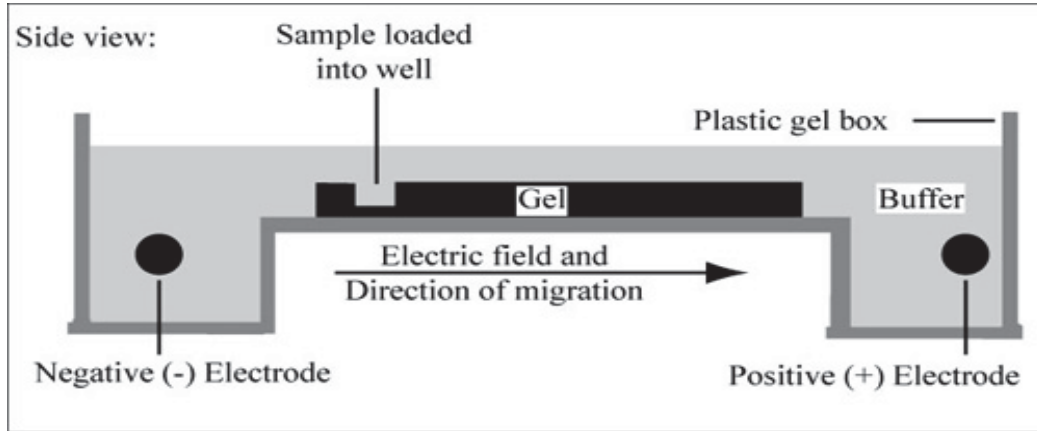
11- نقل DNA المعزول من الخطوة 10 الى مرشح Zymo-spin™ IV- HRC spin (القمة خضراء) في انبوب طرد مركزي نظيف سعة 1.5 مل وعمل طرد مركزي له بدقة $800 \times$

غم لمدة دقيقة واحدة، وعندها اصبح DNA المرشح جاهزا لتطبيقات PCR والتطبيقات الأخرى.

3-3: الترحيل الكهربائي على هلام الاكاروز (AGE) Agarose Gel

Electrophoresis

حضر هلام الاكاروز وفقا للطريقة المتبعة من قبل Sambrook وآخرون (1989) بتكثيف 1.5% عن طريق اذابة 1.5 غم من الاكاروز في 100 مل من محلول TBE المحضر مسبقا، اذ سخن الاكاروز حتى الغليان ثم ترك ليبرد عند درجة 45-50 م°، سكب الهلام (الجل) في لوحة الصب لتحضير لوحة دعم الاكاروز بعد تثبيت المشط لعمل ثقوب من شانها ان تحمل العينات، سكب الهلام برفق (لعدم السماح بتكوين فقاعات هوائية) وترك لمدة 30 دقيقة كي يبرد، وازيل المشط بلطف من الاكاروز الصلب، وثبتت اللوحة على حاملها في قسم الترحيل الكهربائي افقيا متمثلة بخزان الترحيل الكهربائي المستخدم، اذ ان الخزان ممتلئ بمحلول TBE الذي يغطي سطح الهلام.



شكل 4 : نظام عمل الترحيل الكهربائي

4-3: تهيئة العينات Preparation of samples

خلط 3 مايكرو لتر من منظم التحميل المعالج Processor loading buffer (Intron/Korea) مع 5 مايكرو لتر من DNA المرسل (صبغة التحميل Loading dye)، بعد عملية الخلط يتم التحميل عليه في فتحات الهلام (الجل) ثم يعرض الى تيار كهربائي بقوة 7 v c2 / لمدة 1 - 2 ساعة لحين وصول الصبغة الى الجانب الاخر من الهلام، جرى اختبار الهلام (الجل) بواسطة مصدر للأشعة فوق البنفسجية بطول 336 نانومتر بعد وضع الجل في حوض يحتوي على 3 مايكرو لتر من محلول تصبغ Redsafe Nucleic acid و 500 مل من الماء المقطر.



شكل 5: عملية الترحيل الكهربائي باستخدام هلام الاكاروز (Agarose gel)

3-5: تحضير Redsafe Nucleic acid staining solution

حضرت الصبغة بإذابة 1 غم من مسحوق صبغة Redsafe في 100 مل من

الماء المقطر وحفظت في قنينة معتمة بدرجة حرارة الغرفة (Maniatis وآخرون، 1982).

3-6: إجراء التفاعل التضاعفي لسلسلة البوليميريز (PCR)

3-6-1: خليط التفاعل الرئيس (i-Taq) Maxime PCR PreMix kit والذي يحتوي

على المواد الموضحة في الجدول 4.

جدول 2 : مكونات خليط التفاعل الرئيس (i-Taq) Maxime PCR PreMix kit

| المادة | الحجم |
|-----------------------|-------------|
| i-Taq DNA Polymerase | 5U/ μ l |
| DNTPs | 2.5mM |
| Reaction buffer (10X) | 1X |
| Gel loading buffer | 1X |

3-6-2: تشخيص الجينات Diagnosis of Gene

جدول 3: خليط التفاعل المحدد لجين التشخيص

| المواد | التركيز |
|----------------|-----------------------------------|
| Taq PCR PreMix | 5 μ l |
| Forward primer | 10 picomols/ μ l (1 μ l) |
| Reverse primer | 10 picomols/ μ l (1 μ l) |

| | |
|-------|---------------------|
| 2 µl | DNA |
| 16 µl | ماء مقطر |
| 25µl | حجم التفاعل النهائي |

ووضعت في جهاز البلمرة الحراري Thermocycler حسب البرنامج الآتي:

جدول 4: الحالة المثلى للكشف عن الجين

| ت | الخطوات | درجة الحرارة (°م) | المدة الزمنية (دقيقة) | عدد الدورات |
|---|----------------------|-------------------|-----------------------|-------------|
| 1 | Initial Denaturation | 94°C | 3 | 1 دورة |
| 2 | Denaturation -2 | 94°C | 1 | 40 دورة |
| 3 | Annealing | 35°C | 1 | |
| 4 | Extension-1 | 72°C | 1 | |
| 5 | Extension -2 | 72°C | 10 | 1 دورة |

(Haider وآخرون، 2012)

7-3: استخدام تقنية Sequencing and Sequence Alignment

اجري عزل لنتائج PCR على 2% من الترحيل الكهربائي على هلام الاكاروز وجرى

تصويرها بتعريضها للأشعة فوق البنفسجية عند طول موجي 302 نانومتر بعد التصبغ بصبغة

Redstain، ثم اجري Sequencing للجينات بواسطة شركة Macrogen الكورية، ومن ثم

اجري بحث Homology باستخدام برنامج (BLAST) Basic Local Alignment Search

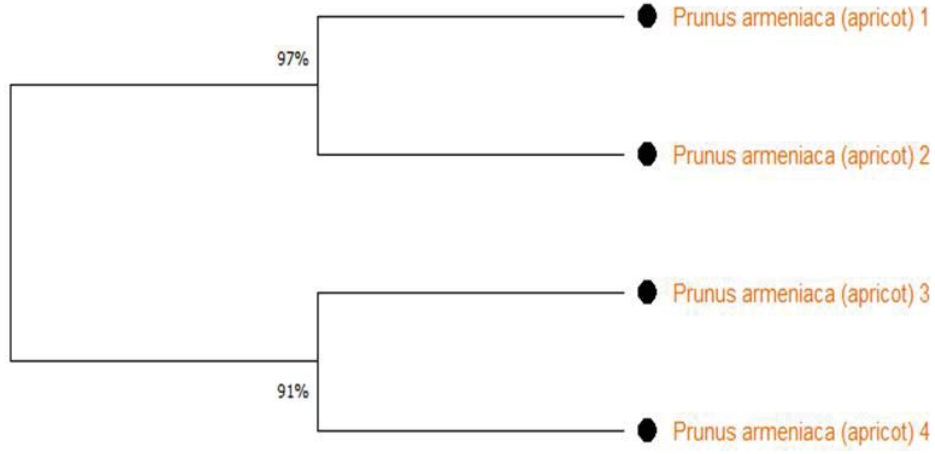
Tool والمتوفرة معلوماته في المركز الوطني لمعلومات التكنولوجيا الحيوي (NCBI) National Center Biotechnology Information على الانترنت وبرنامج BioEdit تمت تنقية ناتج PCR وتتابعاتها في الاتجاهين كلاهما باستخدام BigDye Terminator v3.1 cycle sequence kit، ثم اجري تحليل للبيانات وتسلسل لقواعدها النيروجينية باستخدام برنامج BLAST الخاص بـ NCBI لتحديد العينة وارسالها الى مخزن البيانات (ID) GenBank وتم الحصول على التسلسلات الخاصة بالعينة او العينات من قاعدة بيانات النيوكليوتيدات الخاصة بـ NCBI وتم تضمينها في Multiple alignment باستخدام برنامج (ID) Bio (Tamura) واخرون، (2011).

4: النتائج والمناقشة:

يبين الجدول 5 قيم البعد الوراثي على المستوى الجزيئي بين الأصناف المدروسة، بلغت متواليات cpDNA rbcL المضخمة 680 نيوكليوتيدة، اذ يلاحظ ان اعلى قيمة بعد وراثي كانت بين الصنف عموشة والصنف زاغينيا بلغت 0.212، في حين بلغت اقل قيمة بين الصنف زاغينيا والصنف شركة (أبو الزنجيل) وبلغت 0.155 ، ويلاحظ أن الصنف عموشة كان الأكثر تباعدا مع الصنفين (شركة وقيسي) اذ بلغت (0.188 و 0.195)، وهو ما يتماشى مع النتائج الحقلية (ملحق 1) للأصناف المدروسة اذ كان الصنف عموشة يحمل صفات تختلف عن بقية الأصناف اذ تميز الصنف بتحملة لانخفاض درجات الحرارة (ملحق 4) اثناء مرحلة تصلب النواة فيما تأثر صنف القيسي تأثرا كبيرا بتحول لون النواة الى اللون البني، في حين يلاحظ ان تاثر صنف الشركة وزاغينيا كان طفيفا، وهذا الاختلاف يعود للمحتوى الوراثي لهذه الأصناف واختلاف أصولها الوراثية البذرية. ووفقا لنتائج التباعد الوراثي المبينة في جدول 5، تم رسم شجرة التوزيع العنقودي للأصناف المدروسة إذ يلاحظ ان الأصناف انقسمت الى عنقودين رئيسيين شمل العنقود الأول صنف شركة وزاغينيا الذي اعطى نسبة تقارب بلغت 97%، في حين شمل العنقود الثاني صنف عموشة وقيسي نسبة تقارب وصلت الى 91%، يتضح من النتائج ان الصنف عموشة مختلف من الناحية الوراثية عن جميع الأصناف الأخرى وهذا يدل على ان اصله الوراثي مختلف عن بقية الأصناف.

جدول 5: قيم البعد الوراثي على المستوى الجزيئي بين الأصناف المدروسة

| | 1 | 2 | 3 | 4 |
|--|-------|-------|-------|---|
| شركة 1. <i>Prunus armeniaca</i> (apricot) | | | | |
| زاغينيا 2. <i>Prunus armeniaca</i> (apricot) | 0.155 | | | |
| قيسي 3. <i>Prunus armeniaca</i> (apricot) | 0.165 | 0.184 | | |
| عموشة 4. <i>Prunus armeniaca</i> (apricot) | 0.188 | 0.212 | 0.195 | |



رسم الشجرة العنقوي للاصناف الأربعة قيد الدراسة

الاختلافات في القواعد النروجينية بين أصناف المشمش: 1 شركة، 2 زاغينيا، 3 قيسي و4
عموشة.

| | | | | | | |
|-------------------|--------------------|------------|------------|------------|------------|-----|
| | | 10 | 20 | 30 | 40 | 50 |
| Prunus arm | TTGAACA-GC | CTAGTACACG | ACCCGAGA-C | TAGTTTCAAA | GCGGGGGACG | |
| Prunus arm | ATGGACT-GC | TAGGTAGACG | ACCCGAGAAC | TAGTTTCAAA | GCGGGGGACG | |
| Prunus arm | CCGGACATGC | CTAGAAGACG | ACCCGAGAAC | TAGTTTCAAA | GCGGGGGACG | |
| Prunus arm | CGGGACG-TG | CTAGCAGACG | ACCCGAGAAC | TAGTTTCAAA | GCGGGGGACG | |
| | | 60 | 70 | 80 | 90 | 100 |
| Prunus arm | AGGGGCCGTC | TCGGCGTGCT | CCTCGTCCTT | TTATCTCGGG | GGGGTTCATA | |
| Prunus arm | AGGGGCCGTC | TCGGCGTGCT | TCTCGTCCTT | TTATCTCGGG | GGGGTTCATA | |
| Prunus arm | AGGGGCCGTC | TCGGCGTGCT | CCTCGTCTTT | TTATCTCGGG | GGGGTTCATA | |
| Prunus arm | AGGGGCCGTC | TCGGCGTGCT | CCTCGTCCCT | TTATCCCGGG | GGGGTTCATA | |
| | | 110 | 120 | 130 | 140 | 150 |
| Prunus arm | CCCTTCCGGG | CGTACAAACG | AACACCGGCG | CGAATTGCTT | GTAGGAACTT | |
| Prunus arm | CCCTTCCGA- | CGTACAAACG | AACACCGGCG | CGAATTGCTT | GTAGGGACTT | |
| Prunus arm | CCCTTCCGGG | CGTACAAACG | AACACCGGCG | CGAATTGCTT | CTAGGAACTT | |
| Prunus arm | CCCTTCCGGG | CGTACAAACG | AACACCGGCG | CGAATTGCGC | CGAGGAACTT | |
| | | 160 | 170 | 180 | 190 | 200 |
| Prunus arm | GAACGAGAGA | GCGCGTCCCC | TTTGTCCCGG | AAACGGTGTG | CGCGGGCGGG | |
| Prunus arm | GAACGAGAGA | GCGCTTCCCC | TTTGTCCCGG | AAACGGTGTG | CGCGGGCGGG | |
| Prunus arm | GAACGGGAGA | GGGCGTCCCC | TTTGCCCCGG | AAACGGGGTG | GGGGGGGGGG | |
| Prunus arm | GAACGAGAGA | GCGCGTCCCC | GTTGCCCGG | AAACGGTGTG | CGCGGCCGGC | |
| | | 210 | 220 | 230 | 240 | 250 |
| Prunus arm | GTCGTCATCT | TCAAATATGT | CAAAACGACT | CTCGGCAACG | GATATCTCGG | |
| Prunus arm | GTCGTCATCT | TCAAATATGT | CAAAACGACT | CTCGGCAACG | GATATCTCGG | |
| Prunus arm | GCGGCCATCT | TCAAATTTGT | CAAAACCACT | CTGGGCAACG | GAATTGTCGG | |
| Prunus arm | GTCGTCATCT | TCAAATATGT | CAAAACGACT | CTCGGCAACG | GATATCTCGG | |
| | | 260 | 270 | 280 | 290 | 300 |
| Prunus arm | CTCTCGCATC | GATGAAGAAC | GTAGCGAAAT | GCGATACTTG | GTGTGAATTG | |
| Prunus arm | CTCTCGCATC | GATGAAAAAC | GTAGCGAAAT | GCGATACTTG | GTGTGAATTG | |
| Prunus arm | CTCTCGCATC | GATGAAGAAC | GTAGCGAAAT | GCGATACTTG | GTTTGAATTG | |
| Prunus arm | CTCTCGCATC | GATGAAGAAC | GTAGCGAAAT | GCGATACTTG | GTGTGAATTG | |
| | | 310 | 320 | 330 | 340 | 350 |
| Prunus arm | CAGAATCCCG | TGAACCATCG | AGTCTTTGAA | CGCAAGTTGC | GCCC-GAAGC | |
| Prunus arm | CAAAATCCCG | TGAACCATCG | AGTCTTTGAA | CGCAAGTTGC | GCCCCAAAGC | |
| Prunus arm | CAAAATCCCG | TGAACAATCG | AGTCTTTGAA | CGCAAGTTGC | GCCC-CAAGC | |
| Prunus arm | CAGAATCCCG | TGAACCATCG | AGTCTTTGAA | CGCAAGTTGC | GCCC-GAAGC | |
| | | 360 | 370 | 380 | 390 | 400 |

```

Prunus arm  CATTAGGCCG  AGGGCCCCGC  TGCCTTGGGC  GTCACACGTC  GTTGCCCCCC
Prunus arm  CATTAGGCCG  AGTCCCCCCC  TGCCTTGGGC  GTCACACGTC  GTTGCCCCCC
Prunus arm  CATTAGGCCG  AGGGCCCCGC  TGCTT-GGGC  GTTCCA-GTC  GTTGCCCCCC
Prunus arm  CATTAGGCCG  AGGGCC-GCC  TGCCT-GGGC  GTCACACGTC  GTTGCCCCCT

    . . . | . . . | . . . | . . . | . . . | . . . | . . . | . . . |
                410         420         430         440         450
Prunus arm  CATTACCCC  TTTGGGATT  GCGGGGGG--  GGAAGATGGG  CCCCCGGCGG
Prunus arm  CCTTTTCCCC  TTTGGGATT  TCCGGGGGTT  GAAAAAAGGG  CCTCCCCTGC
Prunus arm  C-TCTACTCC  TTCGGGATC  GAGAGGTG--  --AAGATGG-  CCTCCCGCCG
Prunus arm  CCATCTATTC  CTTGGGGATT  GCGGGGGG-  GGATGATGGC  GCTCCCCTGC

    . . . | . . . | . . . | . . . | . . . | . . . | . . . | . . . |
                460         470         480         490         500
Prunus arm  CTACA-CCGG  TTGTT--GGG  AAAAAAGGCA  AAGCCTCTCG  GGATC-AAAG
Prunus arm  CCCTGGCTGG  GTGTTTGGG  AAAAAAGGCA  AGGCCCTTCG  GGGTTGAAGG
Prunus arm  CCTCACCG-  -TGGT--GG  CATAAATGCA  AAGC---TCG  GCGAT-CAAG
Prunus arm  GCCTCGGCGC  GCGGTC-GGT  ATAAAATACC  AAGTC-CTCG  GCGACGCACG

    . . . | . . . | . . . | . . . | . . . | . . . | . . . | . . . |
                510         520         530         540         550
Prunus arm  CCAATTAGAT  TGGT--GCT  GCCAAGCTCC  G-TTTGGCCC  GCCGGGGGGG
Prunus arm  TCATTGACAA  TGGTTTGGT  CCGAAACTCT  GGTTTTCCCC  GCCCGTGTGG
Prunus arm  TCACTACA--  TTGT---GGT  GCGAAACTCG  G-----TGCC  GTCGGA--GG
Prunus arm  CCACGACAAT  CTGTG--GGT  GCGAAAGCTC  G--TTGCCC  GTCGTGTGCG

    . . . | . . . | . . . | . . . | . . . | . . . | . . . | . . . |
                560         570         580         590         600
Prunus arm  GTCGAACCCC  CCCCAGGGTA  AAAAAACAAT  GTGCGAGGTC  CAGGTTGGCC
Prunus arm  GTTCGTCCCC  CCATCGGGGG  TACAAAAAAT  TTGCGGGGCT  CGGGTGAGCC
Prunus arm  GTCG---TAC  CCCTCGGGGC  TCAGAACAAT  A-GCGGGTTC  --GGTGG---
Prunus arm  GTCG--TCGC  GCATCGAGGG  CTCGAAAAAT  TGTCGGCCTC  CGGCTCGGAC

    . . . | . . . | . . . | . . . | . . . | . . . | . . . | . . . |
                610         620         630         640         650
Prunus arm  TTTCGAACCG  GCCCCGAT  CATG-GGGG  CTGCCCGGTG  AACTTGAGGG
Prunus arm  TTTTAACCGC  GACTTTGGAA  AAGGCGTGTG  TGACCCCTTT  GACTTGAGAG
Prunus arm  CTCA--CGC  GACT-TGGAT  AGCG----G  GTACC--GTG  TATT--AGCG
Prunus arm  TTCAA-CGC  GACCCAGGT  CATGCGGGG  TTACCCGCTG  AATTCAAGCA

    . . . | . . . | . . . | . . . | . . . | . . . | . . . | . . . |
                660         670         680
Prunus arm  --TTCAATA  GA-GTGAGCG  TAC--CGCAG  CTCC
Prunus arm  CGTATCAATA  AT-GCGATCG  GACCCCGCAG  TACC
Prunus arm  --TATCAATA  GC-GAGGACG  C-----G  TCCC
Prunus arm  --TATCATCA  GACGCGAGAG  GA-----AG  TTCT

```